

Animation de personnages par skinning à volume constant

Damien ROHMER

Projet de fin d'études (CPE Lyon)

1er mars - 1er septembre 2007

Laboratoire Jean Kuntzmann, INRIA(EVASION), Grenoble
(10 juillet 2007)

encadrants: Stefanie Hahmann (LJK-MGMI)
Marie-Paule Cani (LJK,EVASION-INRIA)

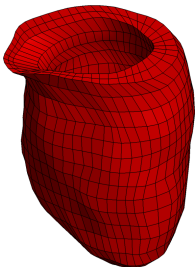
Table des matières

- 1 Etat de l'art : Déformations de personnages animées
 - Introduction
 - Animation par squelette
 - Méthodes d'améliorations
- 2 Méthode
 - Choix de résolution
 - Expression du Volume
 - Equation à résoudre
- 3 Résultats
 - Résolution scindée suivant les axes
 - Minimisation pondérée
 - Déplacement normal
 - Travail Futur
- 4 Conclusion

Les approches des déformations

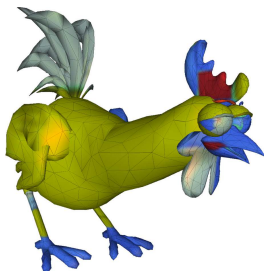
Basées sur la physique

- ⊕ Physiquement réaliste
- ⊖ Long (EDP, FEM, ...)



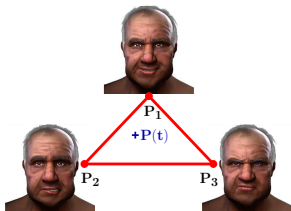
Non basées sur la physique

- ⊕ Temps réel possible (GPU)
- ⊖ Pas forcément correct physiquement

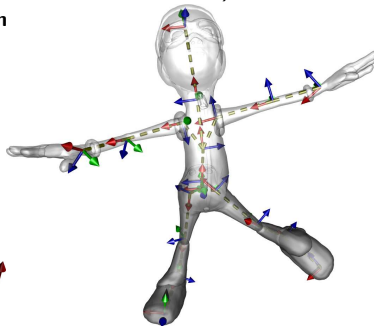
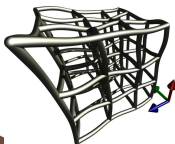


Les approches non physiques classiques

- **Morphing multi-cibles** (Shape Interpolation)
 - Animation de **visages** (et certains jeux vidéos).
 - ⊖ **Travail** pour l'artiste, beaucoup de **mémoire**.
- **Déformation de formes libres** (FFD)
 - ⊖ Contrôle de la **déformation spatiale**
- **Animation squelettique** (skeleton based skinning)
 - ⊕ **Rapide, Mémoire, Prise en main**
 - ⊖ Il faut un **squelette**

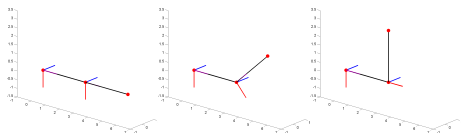


©maya

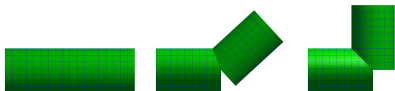


L'animation par squelette (I)

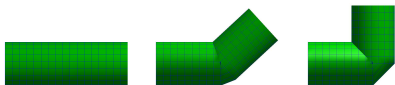
Le skinning rigide (l'ancêtre)



- Par bloc



- Un seul maillage

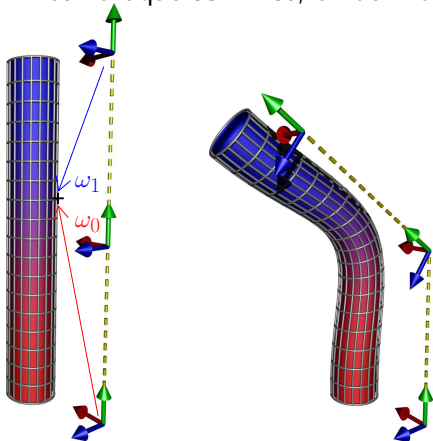


©Eidos

L'animation par squelette (II)

Le soft skinning

- Pour chaque **sommet**, on définit les **poinds de skinning** ω_i



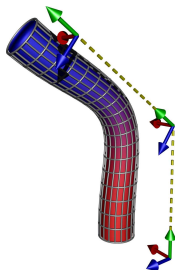
©Edios

L'animation par squelette (III)

Que nous faut t-il ?

- Une **surface** de départ (N_s sommets)
- Un **squelette** = Repères hiérarchiques (N_b repères)
- Les **matrices de transformation** : T_i (N_b matrices)
- Les **poids de skinning** ω ($N_s \times \mathcal{O}(N_b)$)

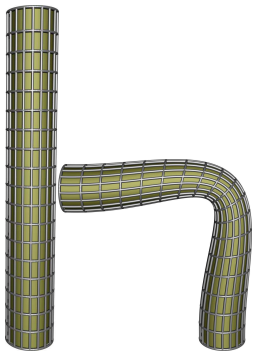
$$\begin{pmatrix} x(t) \\ y(t) \\ z(t) \\ 1 \end{pmatrix} = \left(\sum_{i=1}^{N_b} \omega_i^s T_i(t) \right) \begin{pmatrix} x^0 \\ y^0 \\ z^0 \\ 1 \end{pmatrix}$$



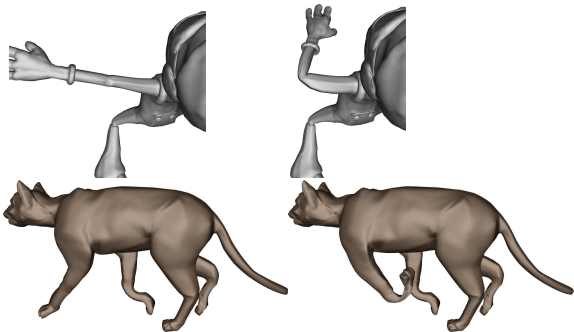
L'animation par squelette (IV)

Les limites

- Non **conservation du volume**
- ex. Collapsing Elbow



$$\Delta V = 11\%$$



Méthodes déjà publiées (I)

Non conservatives du volume

- Correction basées sur des **poses données**.
 - **Eigen Skin** [Kry *et al.*, 2002, SIGGRAPH]
 - Squelette et poids **automatiques** [James & Twigg, 2005, SIGGRAPH]
 - **Ajout de repères** [Mohr & Gleicher, 2003 SIGGRAPH]
 - **Multi-poids** $\vec{x} = (\sum \Omega M D^{-1}) \vec{x}_0$ [Wang & Phillips, 2002, SIGGRAPH]
- ⊖ Il faut les poses
- Axe médian. [Bloomenthal, 2002, EUROGRAPHICS]
 - ⊕ Général, ⊖ Obtention de la surface médiane
- Limitation en angle. [Yang & Zhang, 2005, TSCG]
 - ⊖ Non Général

Méthodes déjà publiées (II)

Basées sur la **Conservation du volume**

- **Minimisation** sous contrainte

(FFD) [Hirota *et al.*, 1999, SIGGRAPH], [Sauvage *et al.*, 2005, SIAM]

$$\begin{cases} \min & \|\vec{u}\|^2 \\ \text{contraint à} & V(\vec{x} + \vec{u}) = V^0 \end{cases}$$

⊕ Général

- **Coordonnées Différentielles** [Sorkine *et al.*, 2004, SIGGRAPH], [Lipman *et al.*, 2004, SMI]

$$\min[\mathcal{L}(\vec{x} + \vec{u}) - \mathcal{L}(\vec{x})]$$

- Déformation de l'**espace** (champs à divergence nulle, swirling sweepers)

[Angelidis *et al.*, 2004, IEEE], [Von Funck, 2006, SIGGRAPH]

⊖ Contrôle de la déformation, Modelage plus qu'animation

Méthode : Notre choix

- 1 Application du skinning classique
- 2 Correction sur le volume (minimisation sous contrainte)
 - ⊕ Très général
 - ⊕ Le plus évident à priori ...
 - ⊖ 2 étapes
 - ⊖ Contrôle de la correction

Expression du Volume d'un domaine (Cas Général)

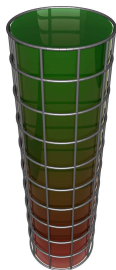
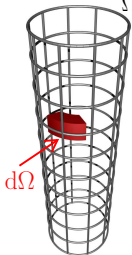
Problème : Comment exprimer le Volume V d'un domaine Ω bordé par une surface fermée $\partial\Omega$.

- 1 Volume $V = \int_{\Omega} d\Omega$
- 2 Théorème de la divergence (Green-Ostogradski)

$$\int_{\Omega} \vec{\nabla} \cdot \vec{f} \, d\Omega = \int_{\partial\Omega} \vec{f} \cdot \vec{n} \, d(\partial\Omega)$$

- 3 On prend $\vec{f} = z \vec{u}_z$ ($\vec{\nabla} \cdot \vec{f} = 1$)

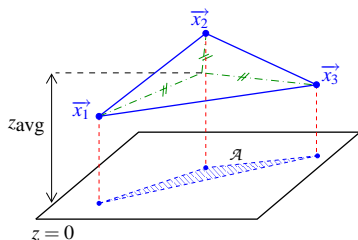
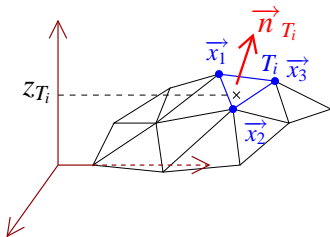
$$\Rightarrow V = \int_{(u,v) \in \Omega} z(u,v) n^z(u,v) \, dudv$$



Expression du Volume d'un domaine (Cas Triangulé)

Problème : Appliquer la formule au cas de surfaces fermées triangulées.

$$\Rightarrow V = \frac{1}{6} \sum_{\text{Triangles}} (z_1 + z_2 + z_3) \begin{vmatrix} x_2 - x_1 & x_3 - x_1 \\ y_2 - y_1 & y_3 - y_1 \end{vmatrix} = \sum_{\text{Triangles}} z_{\text{avg}} \mathcal{A}$$



Utilisation de la trilinearité

$$V = \frac{1}{6} \sum_{\text{Triangles}} (z_1 + z_2 + z_3) \begin{vmatrix} x_2 - x_1 & x_3 - x_1 \\ y_2 - y_1 & y_3 - y_1 \end{vmatrix}$$

- Déterminant Bilinéaire en (x,y)
- Volume trilineaire suivant (x,y,z)

$$\Rightarrow V = \sum_{(i,j,k)} \beta_{ijk} x_i y_j z_k$$

- Expression par produit scalaire

$$V = \langle \vec{V}^{YZ}, \vec{x} \rangle = \langle \vec{V}^{XZ}, \vec{y} \rangle = \langle \vec{V}^{XY}, \vec{z} \rangle$$

Minimisation à résoudre

- On recherche $\vec{u} = (u^x, u^y, u^z)$ tel que

$$\begin{cases} \min & \sum_i \|\vec{u}_i\|^2 \\ \text{contraint à} & V(\vec{x} + \vec{u}) = V^0 \end{cases}$$

- Utilisation des **multiplicateurs de Lagrange**

$$E = \sum_i \|\vec{u}_i\|^2 + \lambda [V(\vec{x} + \vec{u}) - V^0]$$

- On doit résoudre

$$\begin{cases} \forall i, & \frac{\partial E}{\partial u_i^x} = 0, \frac{\partial E}{\partial u_i^y} = 0, \frac{\partial E}{\partial u_i^z} = 0 \\ & \frac{\partial E}{\partial \lambda} = 0 \end{cases}$$

Résolution en trois parties

On suppose que l'on corrige 1/3 du volume sur chaque axe.

- 1 On corrige pour uniquement suivant $x \Rightarrow V(x + u^x, y, z)$.
- 2 On corrige ensuite suivant $y \Rightarrow V(x + u^x, y + u^y, z)$.
- 3 On corrige ensuite suivant $z \Rightarrow V(x + u^x, y + u^y, z + u^z)$.

$$(\vec{u}^x, \vec{u}^y, \vec{u}^z) = \frac{\Delta V}{3} \left(\frac{\vec{V}^{YZ}}{\|\vec{V}^{YZ}\|^2}, \frac{* \vec{V}^{XZ}}{\|* \vec{V}^{XZ}\|^2}, \frac{** \vec{V}^{XY}}{\|** \vec{V}^{XY}\|^2} \right)$$

$$\begin{cases} V(x + u^x, y, z) & = \langle * \vec{V}^{XZ}, \vec{y} \rangle \\ V(x + u^x, y + u^y, z) & = \langle ** \vec{V}^{XY}, \vec{z} \rangle \end{cases}$$

Trois calculs sont nécessaires (trois parcours des sommets)

Résultats

- Facile, rapide, précis ($< 1\%$ erreur ou exact)
- Mais ...



Pondération des sommets

- Problème due à l'**homogénéité**
- Prise en compte du **skinning** ?

Idée : Pondération sur les sommets **éloignés des joints**

$$\gamma = (1 - (\omega_{\max})^q)^p$$



Pondération des sommets (résolution)

On autorise le déplacement des sommets de la jointure.

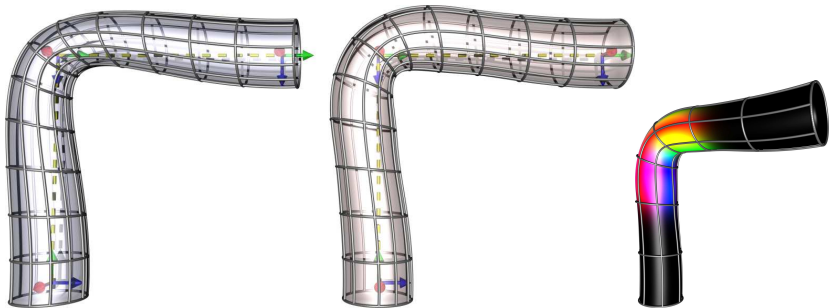
$$\begin{cases} \min & \sum_i \frac{\|\vec{u}_i\|^2}{\gamma_i} \\ \text{contraint à} & V(\vec{x} + \vec{u}) = V^0 \end{cases}$$

- Résolution identique !

$$u_i^x = \frac{\Delta V}{3} \frac{\gamma_i V_i^{YZ}}{\sum_j \gamma_j (V_j^{YZ})^2}$$

- Aucun surcoût de mise en oeuvre.

Pondération des sommets (résultats)



Pondération des sommets (influence des exposants)

$$\gamma = (1 - (\omega_{\max})^q)^p$$



- $(p = q) = 0.2, 5, 10, 15$

Déplacement normal

- Pourquoi fixer 1/3 de la correction en x,y et z?
- Déplacement normale à la surface
 - ⊕ Localement adaptée à la surface
 - ⊕ Plus naturel

On recherche $\vec{u} = \rho \vec{n}$.

$$\left\{ \begin{array}{l} \min \quad \sum_i \frac{\|\rho \vec{n}\|^2}{\gamma_i} \\ \text{contraint à} \quad V(\vec{x} + \rho \vec{n}) = V^0 \end{array} \right.$$

Déplacement normal (Résolution)

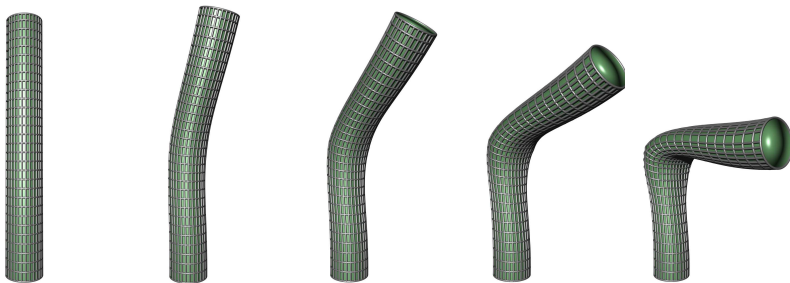
- On perd la trilinearité \Rightarrow **linéarisation** de la contrainte

$$\begin{aligned} & V(x + \rho n^x, y + \rho n^y, z + \rho n^z) \\ & \simeq V(x, y, z) + V(\rho n^x, y, z) + V(x, \rho n^y, z) + V(x, y, \rho n^z) \end{aligned}$$

$$\Rightarrow \rho_m = \Delta V \frac{\gamma_m \langle \vec{n}_m, \vec{v}_m \rangle}{\sum_i \gamma_i \langle \vec{n}_i, \vec{v}_i \rangle^2}$$

$$\vec{v}_i = (V_i^{YZ}, V_i^{XZ}, V_i^{XY})$$

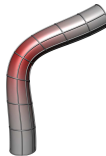
Déplacement normal (Résultats)



- Effet de “caoutchouc”
- Due à la pondération radiale.

Travail Futur

- Pondération différente



- ⊕ Régions adipeuses, muscle qui gongle

- Coordonnées Laplacienne (minimise $\|\vec{u}\|^2 + \mu\|\mathcal{L}(\vec{u})\|^2$).

- ⊕ Prise en compte du voisinage

- Modification des poids de skinning

- ⊕ Plus qu'une seule étape

Conclusion

- Correction de volume **temps-réel** possible.
- **Correction pondérée** suivant la position des sommets.
- Dépend des **paramètres du skinning** (poids ω).
- **Direction** de correction **adaptée à la surface** (déplacement normale).

Mais

- Mais un contrôle de la déformation à régler !

Merci de votre attention